

Chernobyl disaster optimization

Примакова Е.Е.

гр. 9301

1. Введение

Chernobyl Disaster Optimizer (CDO) - это метаэвристический алгоритм, вдохновленный поведением ядерной радиации во время Чернобыльской катастрофы. Он имитирует движение α , β и γ частиц, которые распространяются от центра взрыва (области наибольшего давления) и «атакуют» человеческие цели (области наименьшего давления). При этом алгоритм, также учитывает физические свойства частиц, такие как: скорость распространения и способность проходить через те или иные материалы. Каждый тип частицы (α , β и γ) по сути своей является уникальным поисковым агентом.

Так γ частицы, являясь наиболее быстрыми и "проникающими", играют роль агентов глобального поиска - наиболее быстро исследуют пространство поиска, при этом с не очень высокой точностью. β частицы - агенты балансирующие между глобальным и локальным поиском, в то время как α частицы - самые медленные и с наихудшей способностью проходить через материалы, являются агентами локального поиска.

Как и в случае с реальным радиоактивным излучением, β и γ частицы проходят сквозь человеческое тело, в то время как α останавливаются. Поэтому поисковым агентом, который приходит к глобальному минимуму являются именно α частицы.

Также следует отметить, что поисковые агенты зависимы между собой по аналогии с PSO - все притягиваются к текущему лучшему решению, что обеспечивает сходимость и эффективное использование свойств поисковых агентов.

2. Алгоритм и тестовые функции

2.1. Описание алгоритма

Как уже говорилось, после ядерного взрыва излучение состоит из α , β и γ частиц. Эти частицы летят от точки взрыва (область высокого давления) до тех пор, пока не достигнут человеческих территорий (область низкого давления), где и произойдет катастрофа. Алгоритм предполагает, что жертвы (люди) идут, и эти частицы атакуют их в одно и то же время, с разной скоростью (Табл. 1).

| Тип частицы | Скорость (s) |
|-------------|-------------------|
| α | $0.16 \cdot 10^5$ |
| β | $2.7 \cdot 10^5$ |
| γ | $3 \cdot 10^5$ |

Таблица 1: Скорость частиц

Скорость движения людей "бегущих" от радиации линейно снижается с каждой итерацией t , иными словами, в соответствии с (1), на последней итерации алгоритма T все умрут.

$$WS_h = 3 - 3 \frac{t}{T}, \quad (1)$$

Изначально создаются n агентов, которые представляют собой частицы трёх типов. Их начальные позиции распределяются случайным образом по всему пространству поиска. Скорости частиц (s^γ , s^β , s^α) задаются в соответствии с их физическими характеристиками. Например, скорость γ -частиц является самой высокой, что делает их эффективными в глобальном поиске, тогда как α -частицы действуют медленно, выполняя локальную оптимизацию.

Обновление позиций частиц осуществляется на каждой итерации на основе следующих формул:

$$v_{i,j}(t+1) = \sum_{p \in \{\gamma, \beta, \alpha\}} \left(\frac{r \cdot A \cdot P_{i,j} - P_j^p}{s^p \cdot \text{rand}(0, 1)} - WS_h \right), \quad (2)$$

$$P_{i,j}(t+1) = P_{i,j}(t) + v_{i,j}(t+1), \quad (3)$$

где $v_{i,j}$ — скорость частицы, $P_{i,j}$ — положение частицы, A — радиус действия частиц, WS_h — скорость жертвы, а r — случайный коэффициент.

Каждая частица оценивается по значению целевой функции f . Если текущая пригодность частицы лучше, чем у её типа (например, у α -частиц), то обновляются наилучшие известные значения для данного типа частиц.

Процесс повторяется до тех пор, пока не будет достигнуто максимальное количество итераций T или не будет удовлетворено условие остановки. Алгоритм поддерживает равновесие между глобальным и локальным поиском благодаря сочетанию различных типов частиц и их взаимодействию через обновление скоростей.

Ниже приведены основные этапы алгоритма CDO:

1. **Инициализация.** Создание агентов с случайными начальными позициями.
2. **Обновление скоростей и позиций.** Расчёт новых скоростей и позиций с использованием физических моделей распространения частиц (1-3).
3. **Оценка.** Вычисление значений целевой функции и обновление лучших значений.
4. **Конвергенция.** Завершение работы алгоритма при достижении заданных условий.

Основной принцип CDO заключается в использовании разных типов частиц, чтобы обеспечить эффективный баланс между исследованием пространства и уточнением решений.

Ниже приведен псевдокод рассматриваемого метода оптимизации. Входные параметры алгоритма указаны в псевдокоде.

В представленном псевдокоде функция случайных чисел `rand` принимает первым аргументом размерность вектора случайных чисел, вторым аргументом - пределы в которых выбирается случайное число.

Algorithm 1: Chernobyl Disaster Optimizer (CDO)

Входные данные:

f ; /* Целевая функция */
 d ; /* Размерность проблемы */
 n ; /* Число частиц */
 T ; /* Максимальная итерация */
 $[l, u]$; /* Границы начального распределения частиц */

Результат:

x_{min} ; /* Точка минимума */
 f_{min} ; /* Значение функции в x_{min} */

Алгоритм:

```
/* Константы скорости распространения частиц */
 $s^\gamma, sf^\gamma \leftarrow 3 \cdot 10^5, 1$ ;
 $s^\alpha, sf^\alpha \leftarrow 0.16 \cdot 10^5, 0.25$ ;
 $s^\beta, sf^\beta \leftarrow 2.7 \cdot 10^5, 0.5$ ;
/* Инициализация положений частиц в пространстве */
 $P_i \leftarrow \text{rand}(d, [l, u]) \mid i \in [1 \dots n]$ ;
/* Основной цикл */
for  $t \leftarrow 1$  to  $T$  do
  for  $i \leftarrow 1$  to  $n$  do
     $fitness \leftarrow f(P_i)$ ;
    if  $fitness < \alpha Score$  then
       $\alpha Score \leftarrow fitness$ ;
       $P^\alpha \leftarrow P_i$ ;
    else if  $fitness < \beta Score$  then
       $\beta Score \leftarrow fitness$ ;
       $P^\beta \leftarrow P_i$ ;
    else if  $fitness < \gamma Score$  then
       $\gamma Score \leftarrow fitness$ ;
       $P^\gamma \leftarrow P_i$ ;
    end
  end
   $end$ 
   $WS_h \leftarrow 3 - 3(\frac{t}{T})$ ; /* Скорость ходьбы человека */
  /* Обновление положений частиц в пространстве */
  for  $i \leftarrow 1$  to  $n$  do
     $\nu_j \leftarrow 0 \mid j \in [1 \dots d]$ ; /* Инициализация градиентов */
    for  $j \leftarrow 1$  to  $d$  do
      foreach  $p$  in  $[\gamma, \alpha, \beta]$  do
         $S \leftarrow sf^p \cdot \log(\text{rand}(1, [1, s^p]))$ ; /* Скорость частицы */
         $x_h \leftarrow \pi \cdot \text{rand}(1, [0, 1])^2$ ; /* Радиус зоны ходьбы людей */
         $\rho \leftarrow \frac{x_h}{S} - WS_h \cdot \text{rand}(1, [0, 1])$ ; /* Распространение частицы */
         $A \leftarrow \pi \cdot \text{rand}(1, [0, 1])^2$ ; /* Радиус распространения частицы */
         $\Delta \leftarrow |A \cdot P_{i,j} - P_j^p|$ ;
         $\nu_j \leftarrow \nu_j + P_{i,j} - \rho \cdot \Delta$ ; /* Вектор скорости частицы */
      end
    end
     $P_i = \nu \oslash 3$ ;
  end
end
 $f_{min}, x_{min} \leftarrow \alpha Score, P^\alpha$ ;
return  $x_{min}, f_{min}$ 
```

2.2. Тестовые проблемы

2.2.1. Проблеммы с множественным локальным минимумом

Функции этой категории характеризуются наличием множества локальных минимумов, что делает оптимизацию сложной для алгоритмов, основанных на градиентных методах, которые могут легко

застрять в локальных минимумах. Эвристические и метаэвристические подходы, такие как генетические алгоритмы, оптимизация роя частиц и моделируемый отжиг, обычно лучше подходят для таких функций, поскольку они исследуют пространство решений более глобально.

Ackley Function Функция Ackley широко используется для тестирования алгоритмов оптимизации благодаря множеству локальных минимумов и единственному глобальному минимуму. Высокая частота колебаний мешает градиентным методам, в то время как метаэвристические алгоритмы превосходят их благодаря способности исследовать различные области пространства решений.

$$f(x) = -20 \exp \left(-0.2 \sqrt{\frac{1}{d} \sum_{i=1}^d x_i^2} \right) - \exp \left(\frac{1}{d} \sum_{i=1}^d \cos(2\pi x_i) \right) + 20 + e, \quad (4)$$

$$-5 \leq x_i \leq 5, \quad x_{\min} = (0, \dots, 0), \quad f_{\min} = 0.$$

Eggholder Function Функция Eggholder известна своим сложным ландшафтом с многочисленными крутыми долинами и хребтами. Резкие переходы градиента делают ее сложной для квазиградиентных методов. Такие алгоритмы, как дифференциальная эволюция и роевые методы, часто оказываются более эффективными.

$$f(x_1, x_2) = -(x_2 + 47) \sin \left(\sqrt{|x_2 + x_1/2 + 47|} \right) - x_1 \sin \left(\sqrt{|x_1 - (x_2 + 47)|} \right), \quad (5)$$

$$-512 \leq x_1, x_2 \leq 512, \quad x_{\min} \approx (512, 404.2319), \quad f_{\min} \approx -959.6407.$$

2.2.2. Проблемы "чаши"

Эти функции гладкие и унимодальные, с одним глобальным минимумом, который лежит в параболической области. Они хорошо подходят для градиентных и квазиньютоновских методов благодаря своей выпуклой природе.

Sphere Function Sphere это простой квадратичный тест, используемый для оценки алгоритмов оптимизации. Его гладкая поверхность делает его идеальным для алгоритмов, использующих информацию о градиенте.

$$f(x) = \sum_{i=1}^d x_i^2, \quad (6)$$

$$-5.12 \leq x_i \leq 5.12, \quad x_{\min} = (0, \dots, 0), \quad f_{\min} = 0.$$

Trid Function Функция Trid создана для того, чтобы бросить вызов алгоритмам оптимизации с неквадратичной формой чаши. Хотя она остается унимодальной, нелинейность требует квазиньютоновских методов или продвинутых градиентных оптимизаторов для эффективного сближения.

$$f(x) = \sum_{i=1}^d (x_i - 1)^2 - \sum_{i=2}^d x_i x_{i-1}, \quad (7)$$

$$-d^2 \leq x_i \leq d^2, \quad x_{\min} = (1, 2, \dots, d), \quad f_{\min} = -d(d+4)(d-1)/6.$$

2.2.3. Функции "плато"

Эти функции имеют плоские области или плато, что может замедлить работу алгоритмов оптимизации. Линейные методы и простой градиентный спуск часто оказываются здесь неэффективными, в то время как эвристические подходы, использующие случайную выборку или имитацию отжига, могут быть более эффективными.

McCormick Function Функция `McCormick` - это двумерная функция с относительно простой поверхностью, но невыпуклыми свойствами. Плато может ввести в заблуждение градиентные алгоритмы, но эвристические методы справляются неплохо.

$$f(x_1, x_2) = \sin(x_1 + x_2) + (x_1 - x_2)^2 - 1.5x_1 + 2.5x_2 + 1, \quad (8)$$

$$-1.5 \leq x_1 \leq 4, -3 \leq x_2 \leq 4, \quad x_{\min} \approx (-0.54719, -1.54719), \quad f_{\min} \approx -1.9133.$$

Booth Function Функция `Booth` широко используется в оптимизации для тестирования алгоритмов с двумя переменными. Хотя функция имеет простую структуру, области плато могут замедлить сходимость для линейных или простых градиентных методов

$$f(x_1, x_2) = (x_1 + 2x_2 - 7)^2 + (2x_1 + x_2 - 5)^2, \quad (9)$$

$$-10 \leq x_1, x_2 \leq 10, \quad x_{\min} = (1, 3), \quad f_{\min} = 0.$$

2.2.4. Проблемы "долины"

Эти функции имеют узкие долины, в которых трудно найти глобальный минимум. Градиентные алгоритмы могут колебаться в пределах долины, прежде чем сходятся. Алгоритмы с адаптивным размером шага или гибридные метаэвристические методы могут работать лучше.

Rosenbrock Function The `Rosenbrock`, также известная как функция Банана, является классическим эталоном с изогнутой долиной, ведущей к глобальному минимуму. Градиентные методы часто оказываются неэффективными из-за плоскости вдоль оси долины, что требует применения продвинутых импульсных методов.

$$f(x) = \sum_{i=1}^{d-1} [100(x_{i+1} - x_i^2)^2 + (x_i - 1)^2], \quad (10)$$

$$-5 \leq x_i \leq 10, \quad x_{\min} = (1, \dots, 1), \quad f_{\min} = 0.$$

Six-Hump Camel Function The Six-Hump Camel function is a challenging two-dimensional test case with multiple local minima. It requires algorithms with global search capabilities, such as simulated annealing or genetic algorithms, to avoid getting stuck in local minima.

$$f(x_1, x_2) = 4x_1^2 - 2.1x_1^4 + \frac{x_1^6}{3} + x_1x_2 - 4x_2^2 + 4x_2^4, \quad (11)$$

$$-3 \leq x_1 \leq 3, -2 \leq x_2 \leq 2, \quad x_{\min} \approx (\pm 0.0898, \mp 0.7126), \quad f_{\min} \approx -1.0316.$$

2.2.5. Проблемы "хребтов и падений"

Функции этой категории характеризуются резкими изменениями градиента, что делает их труднопроходимыми для алгоритмов оптимизации. Метаэвристические методы, выполняющие широкую выборку, подходят лучше, чем традиционные градиентные подходы.

Easom Function Функция `Easom` имеет один резкий глобальный минимум, окруженный крутыми гребнями. Эта функция бросает вызов как градиентным, так и квазиградиентным алгоритмам, требуя стратегий глобального поиска для эффективного нахождения минимума.

$$f(x_1, x_2) = -\cos(x_1) \cos(x_2) \exp(-(x_1 - \pi)^2 - (x_2 - \pi)^2), \quad (12)$$

$$-100 \leq x_1, x_2 \leq 100, \quad x_{\min} = (\pi, \pi), \quad f_{\min} = -1.$$

Michalewicz Function Функция Michalewicz - это мультимодальная проблема, зависящая от параметров d (размерность) и m (резкость минимумов). Крутые спады и узкие минимумы затрудняют работу большинства детерминированных методов, делая метаэвристические алгоритмы, такие как оптимизация муравьиной колонии или моделированный отжиг, более эффективными. ментальные методы.

$$f(x) = - \sum_{i=1}^d \sin(x_i) \left[\sin \left(\frac{ix_i^2}{\pi} \right) \right]^{2m}, \quad (13)$$

$$0 \leq x_i \leq \pi, \quad x_{\min} \text{ varies with } d, m.$$

3. Результаты

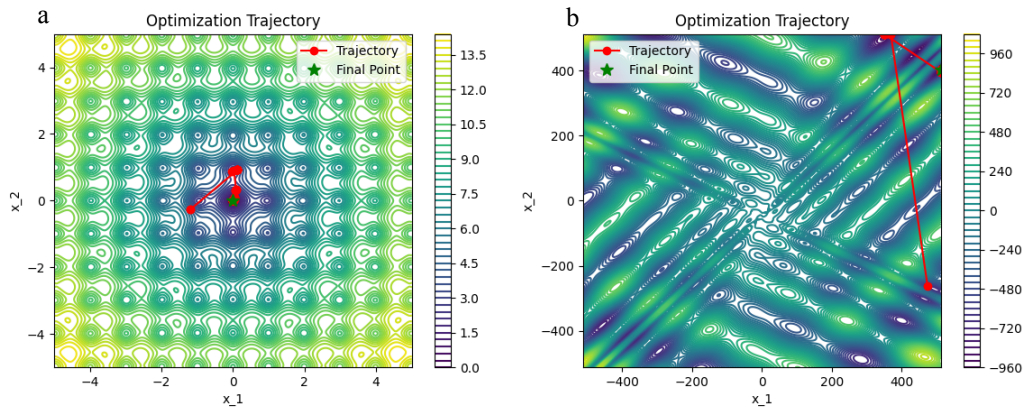


Рис. 1: Траектория поиска для проблем с множественным локальным минимумом. а - Ackley, б - Eggholder

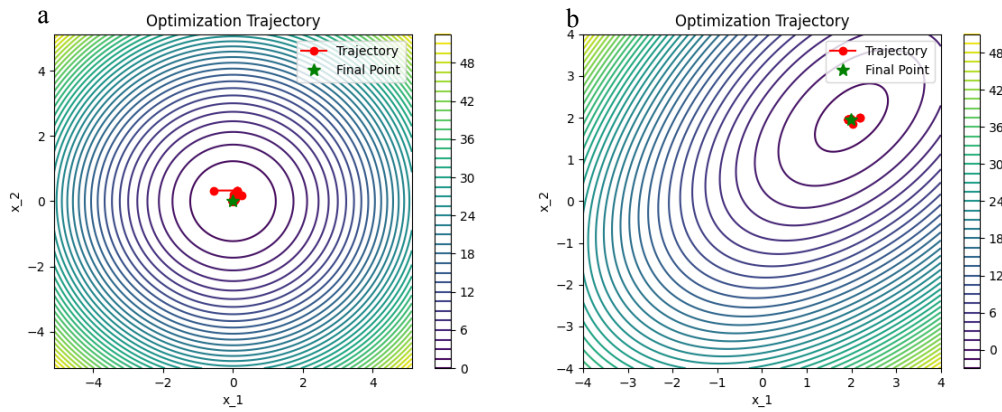


Рис. 2: Траектория поиска для проблем а - Sphere, б - Trid

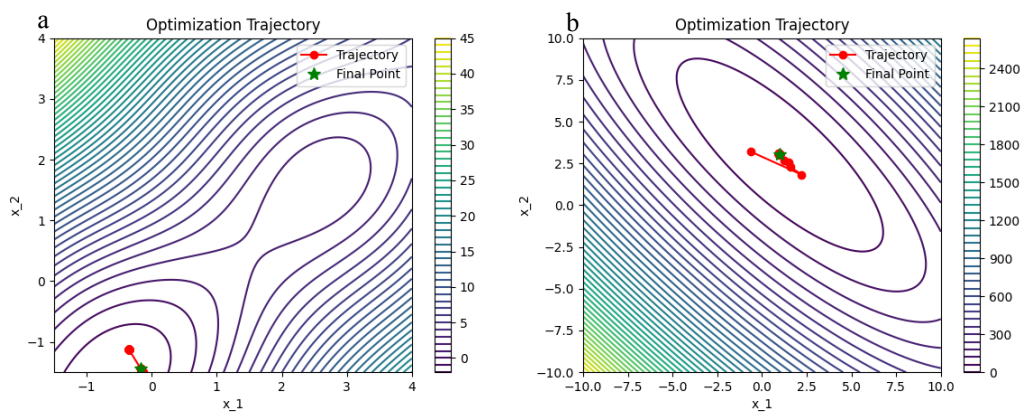


Рис. 3: Траектория поиска для проблем a - McCormick, b - Booth

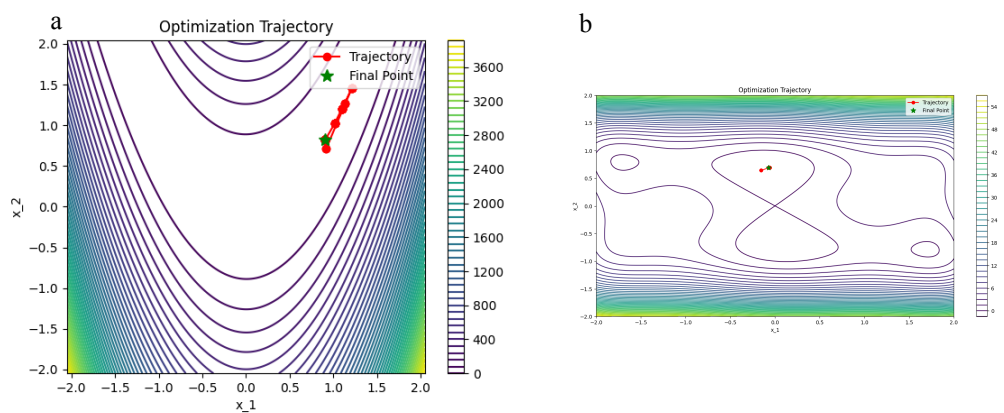


Рис. 4: Траектория поиска для проблем.... a - Rosenbrock, b - Six-Hump Camel

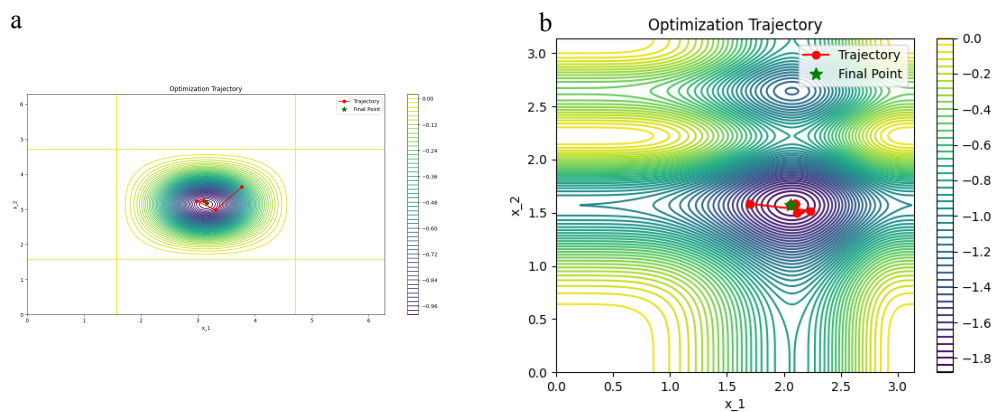


Рис. 5: Траектория поиска для проблем.... a - Easom, b - Michalwicz

4. Выводы

Для функции Ackley, характеризующейся множеством локальных минимумов, алгоритм эффективно показал способность избегать преждевременной сходимости. Быстрое исследование пространства с помощью γ -частиц позволяет охватить всю область поиска, в то время как α -частицы уточняют решение вблизи глобального минимума.

Функция Booth, будучи унимодальной и выпуклой, продемонстрировала быстрое достижение глобального минимума. Замедленное движение α -частиц помогает точному нахождению решения, в то время как β - и γ -частицы обеспечивают глобальный охват.

Резкий пик функции Easom и узкий глобальный минимум создают сложность для многих оптимизаторов. γ -частицы быстро находят область, где расположен минимум, а α -частицы успешно сужают поиск для достижения точного результата.

Сложный ландшафт функции Eggholder с крутыми гребнями и долинами демонстрирует способность оптимизатора работать в таких условиях. γ -частицы эффективно исследуют пространство, находя долины, а β -и α -частицы постепенно уточняют решения.

Гладкость и простая нелинейность функции McCormick позволяют алгоритму быстро сходиться. Баланс между различными типами частиц приводит к быстрому достижению минимума.

Обманчивый характер функции Michalewicz, включающий узкие долины и сложный рельеф, подчёркивает преимущества алгоритма. γ -частицы предотвращают застревание в локальных минимумах, в то время как α -частицы уточняют результаты.

Функция Rosenbrock с характерной "бананообразной" долиной представляет вызов для многих оптимизаторов. β -частицы играют важную роль в навигации по долине, тогда как α -частицы обеспечивают точное достижение минимума.

Для функции с несколькими локальными минимумами, как Six-Hump Camel, алгоритм демонстрирует способность эффективно находить глобальный минимум благодаря сбалансированной работе γ , β и α -частиц.

Гладкая и выпуклая природа функции Sphere позволяет алгоритму быстро находить минимум. Сочетание различных частиц обеспечивает высокую скорость сходимости.

Функция Trid с уникальной кривизной и нелинейностью демонстрирует эффективность β -частиц в балансе между локальным и глобальным поиском, в то время как α -частицы уточняют решение.

1. **Исследование и уточнение:** Разделение ролей между γ , β и α -частицами позволяет эффективно балансировать между глобальным поиском и локальной оптимизацией.
2. **Адаптивность:** Алгоритм показал гибкость при работе с разнообразными тестовыми функциями, включая мультиэкстремальные и унимодальные.
3. **Сходимость:** Взаимодействие частиц обеспечивает надёжное достижение глобального минимума без застревания в локальных экстремумах.

Таким образом, результаты тестирования подтверждают эффективность и универсальность оптимизатора CDO.